



HD 33266 ve 6 Cas'ın Kimyasal Bolluk Analizi

Zeynep AVCI

Ankara Üniversitesi Astronomi ve Uzay Bilimleri Bölümü

İÇERİK



- Motivasyon
- Gözlemler
- Ön indirgeme
- Çizgi tanısı
- Atmosfer parametreleri
- H-Balmer Çizgileri
- Kimyasal Bolluk Analizi
- Sonuçlar

• Motivasyon



- Yıldızların doğasının (fiziksel ve kimyasal özellikleri, evrim durumu vb.) anlaşılması
- Yıldızların kimyasal kompozisyonuna göre galaktik kimyasal evrime katkılarının anlaşılması
- A tayf türünden yıldızlar çok temiz bir tayfa ve blend olmamış bir çok önemli tayfsal çizgiye sahip olduklarıdan ideal bolluk belirteçleri olmaları
- A türü süperdevler evrimleşmiş büyük kütleli yıldızlardır, bu erken tür süperdevler mavi ve kırmızı süperdevler arasındaki evrimsel bağlantıyı sağlarlar. Bu yüzden yıldız evrimi çalışmaları için çok önemlidir.
- A tayf türü süperdevler görünür bölgede en parlak yıldızlardır ve diğer gökadalarda da gözlenerek analizleri yapılabilmektedir.

• Gözlemler



HD 33266 (A2 III) 6 Cas (A3 Iae)

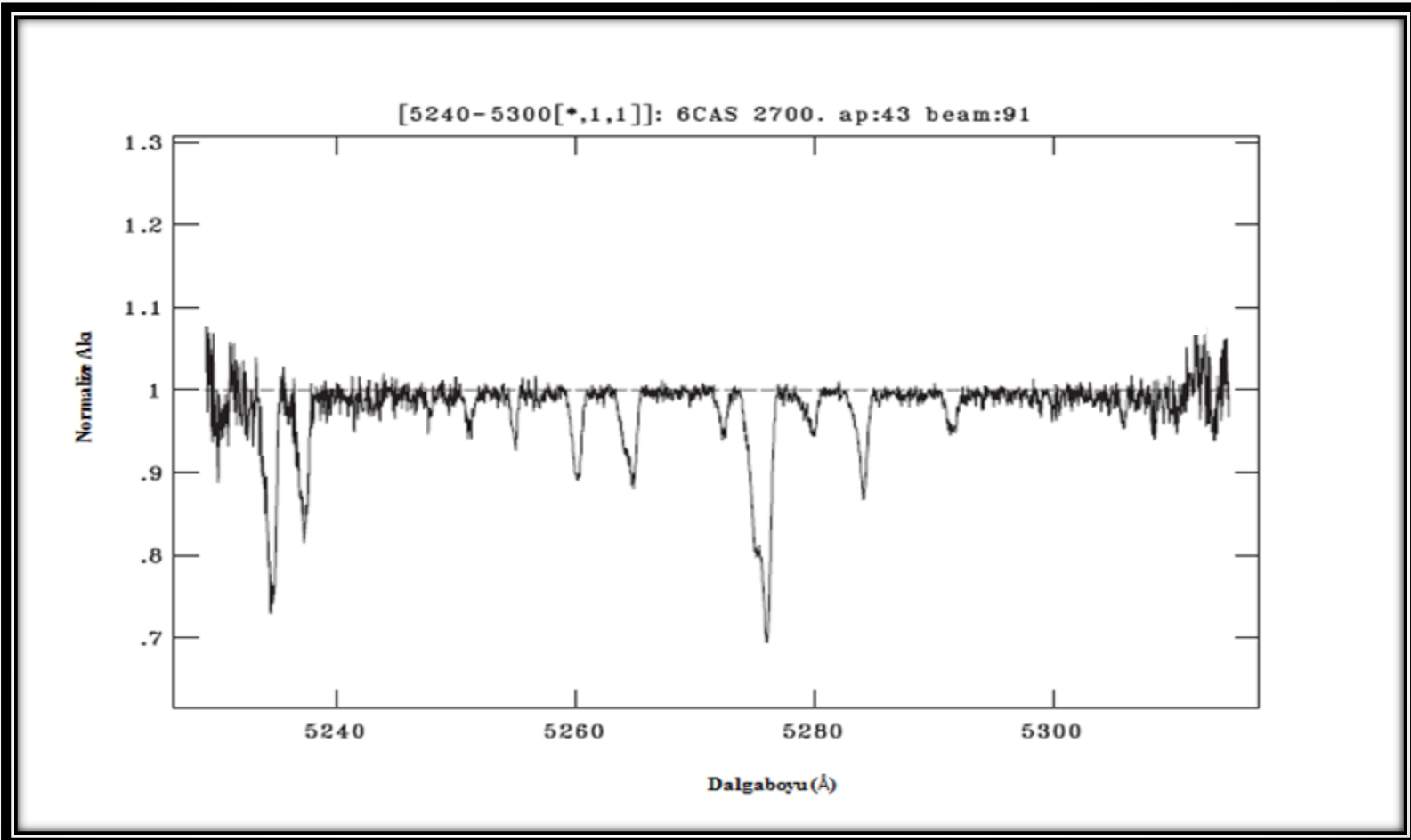
- Yüksek çözünürlüklü (~ 40 000) tayfsal verileri
- TÜBİTAK Ulusal Gözlemevi
- RTT150 teleskobuna bağlı Coude Echelle Tayfçekeri

Yıldız Adı	Parlaklık* (m)	RA* (s dk sn)	DEC * ($^{\circ} \ ' \ ''$)	Tarih (gün/ay/yıl)	Poz Süresi (sn)	vhelio** (km s^{-1})	$v \sin i^{**}$ (km s^{-1})	S/G** (@ 5000 Å)
HD 33266	6.17	05 13 02.81	+61 51 00.14	23-24/09/2010	2 x 4500	4.3	12	320
6 Cas	5.43	23 48 50.171	+62 12 52.26	24-25/09/2010	2700	-41	29	170

• * SIMBAD Astronomical Database

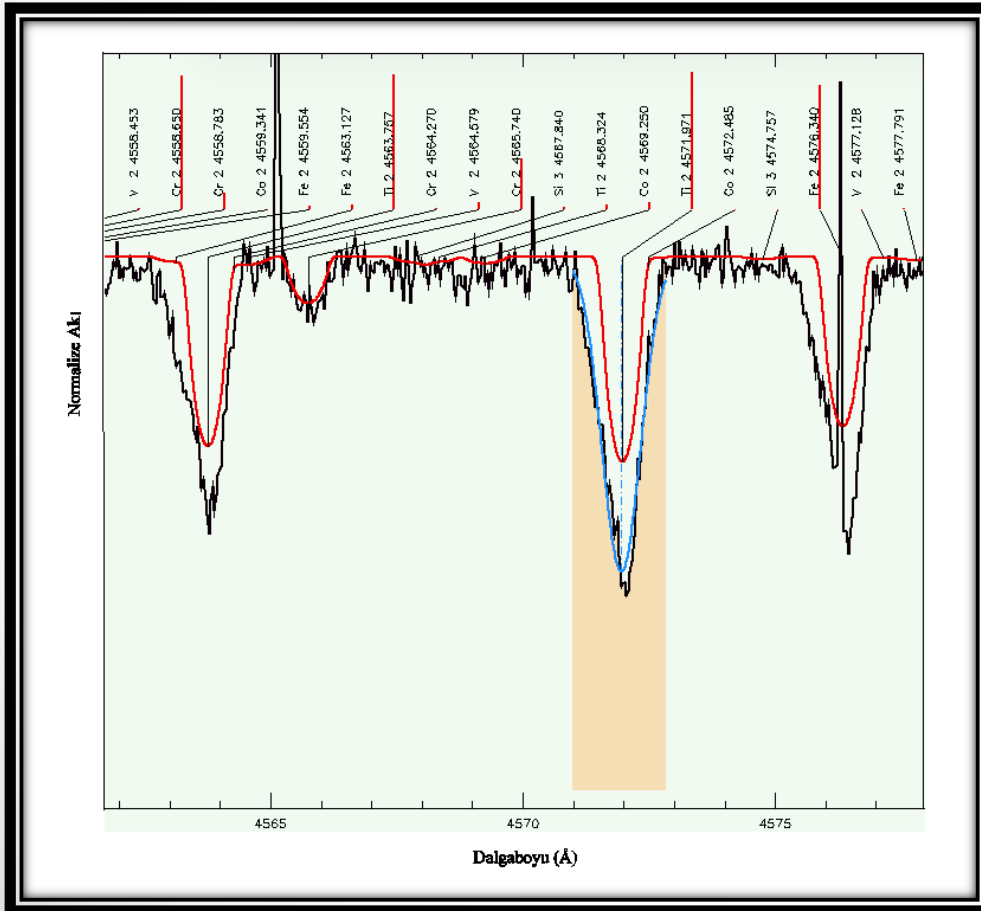
• ** Bu çalışma

- Ön İndirgeme



- IRAF (Image Reduction and Analysis Facility)

• Çizgi Tanıısı



HD 33266 (A2 III)– omi Peg (A1IV)
6 Cas (A3Iae) - Deneb (A2Iae)

NIST

(National Institute of Standards and Technology)

VALD

(Vienna Atomic Database)

veri tabanlarından kontrol edilerek çizgilerin osilatör şiddetleri güncellendi.

http://physics.nist.gov/PhysRefData/ASD/lines_form.html

<http://ams.astro.univie.ac.at/~vald>

• Atmosfer Parametreleri



• Fotometrik (Napiwotzki vd. 1995)

T_e , $\log g$

• Tayfsal

Çizgi Tanısı
Eşdeğer Genişlik

Model
Atmosfer

ATLAS9

(<http://kurucz.harvard.edu/grids.html>)

Sentetik Tayf
SYNTHE

- Bolluk - Eşdeğer Genişlik
- Uyartılma Dengesi
- İyonizasyon Dengesi

WIDTH9

Yıldız Adı	Fotometrik		Tayfsal				
	Te [K]	$\log g$ [cgs]	Te [K]	$\log g$ [cgs]	ξ [km s ⁻¹]	[Fe/H] [dex]	
HD 33266	9274	3.43	9200 ± 150	3.60 ± 0.1	2.6 ± 1	0.21 ± 0.01	
6 Cas	9200 ± 300	1.60 ± 0.1	6 ± 1	-0.02 ± 0.03	

T_e , $\log g$, ξ

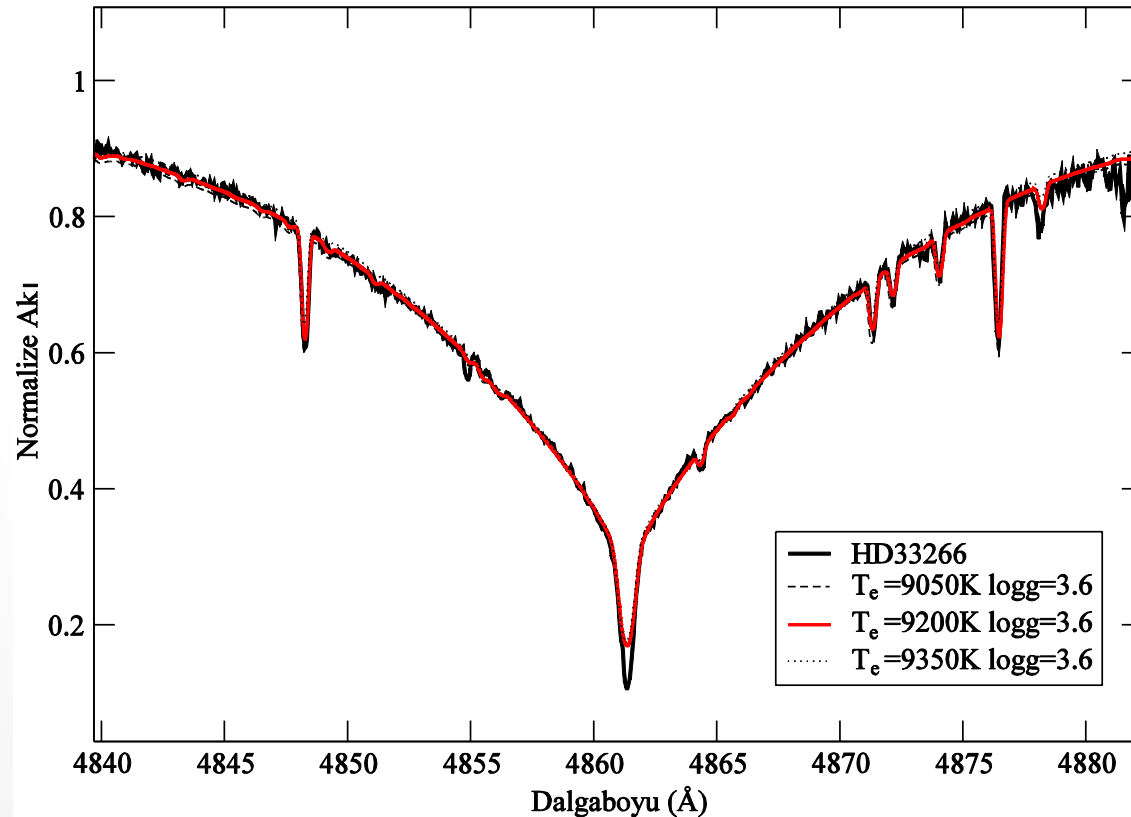
- ATLAS9, WIDTH9, SYNTHE (Kurucz 1993, Sbordone vd. 2004, Sbordone 2005)

- H-Balmer Çizgileri



HD 33266

H_{β}

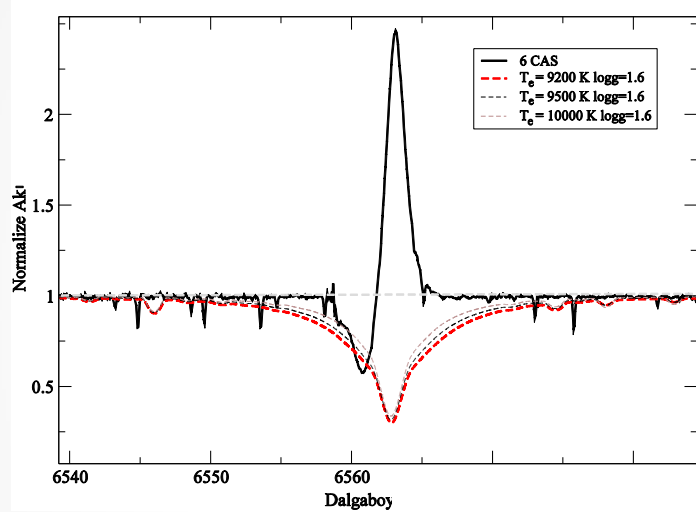


• H-Balmer Çizgileri

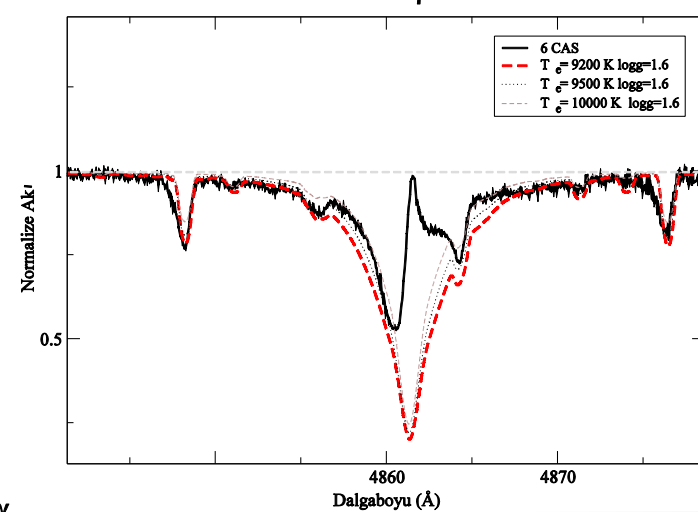


6 Cas

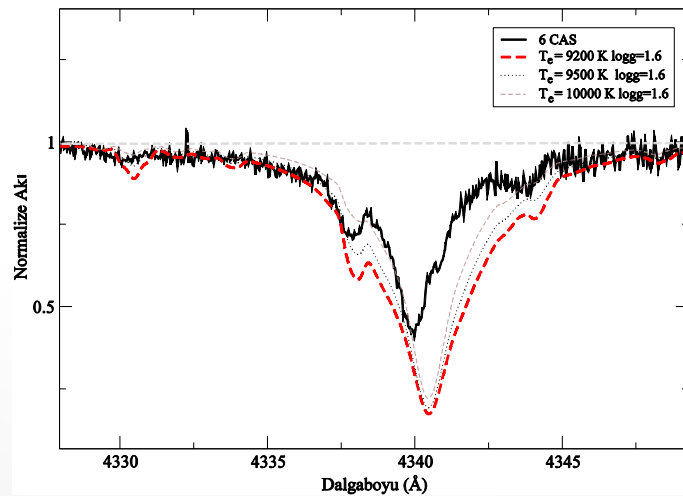
H_α



H_β



H_γ



• Kimyasal Bolluk Analizi



$T_e, \log g, \xi$

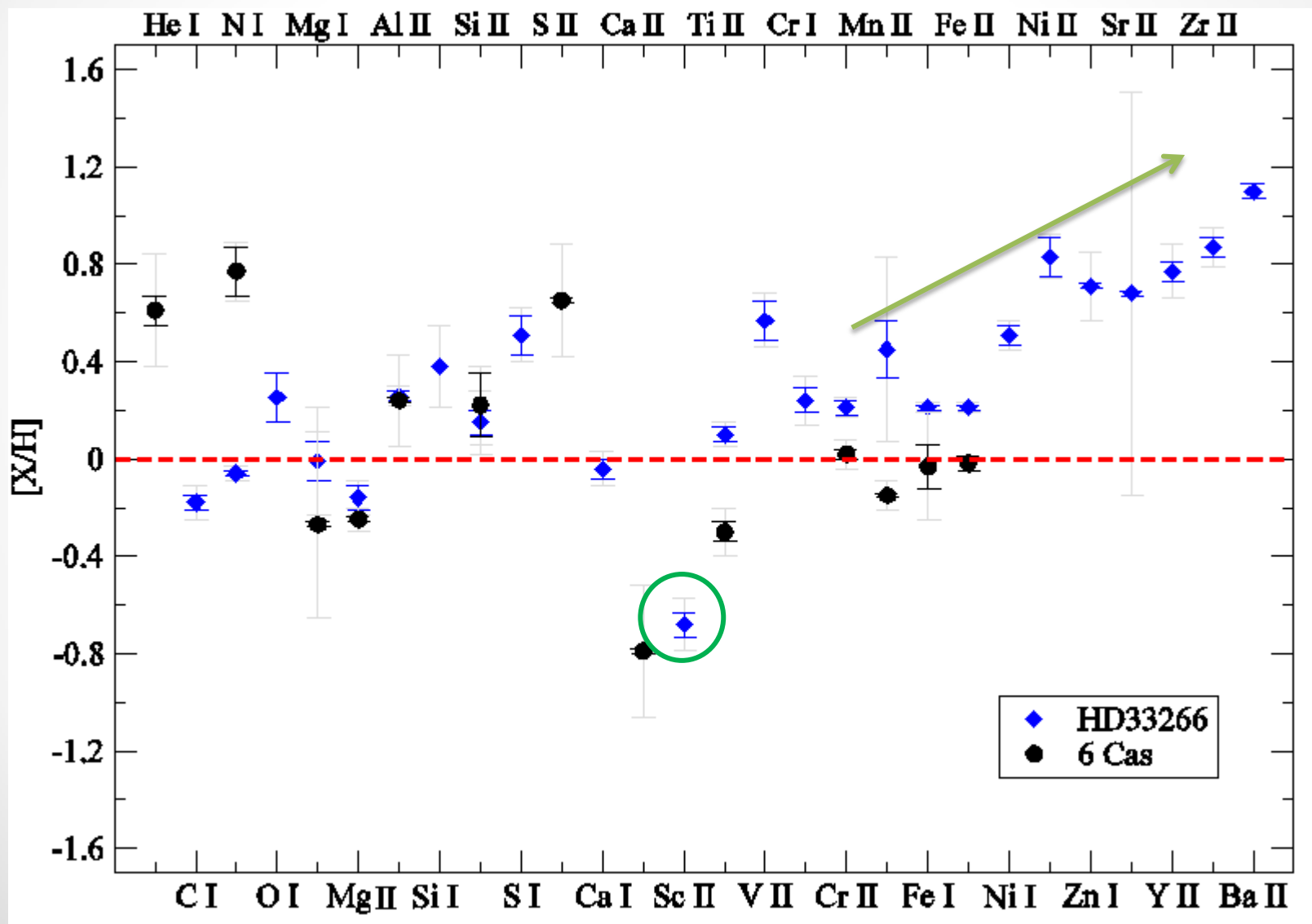
Model
Atmosfer
ATLAS9

Sentetik Tayf
SYNTHE

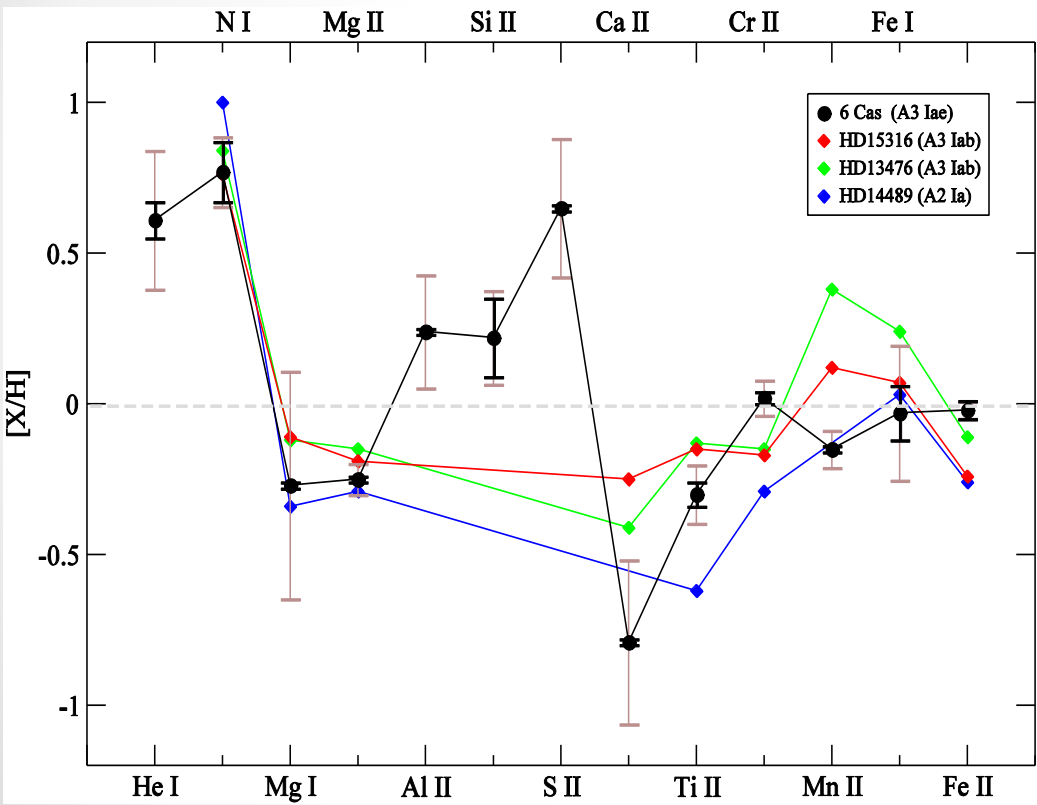
Bolluk Hesapları
HD 33266
25 atomik tür
6 Cas
13 atomik tür

Atomik Tür	Çizgi Sayısı		[x/H]		σ_r		σ_{toplam}	
	HD33266	6 Cas	HD33266	6 Cas	HD33266	6 Cas	HD33266	6 Cas
He I sentetik	...	2	...	0.61	...	0.06	...	0.23
C I	2	...	-0.18	...	0.03	...	0.07	...
N I	1	4	-0.06	0.77	0.01	0.10	0.03	0.12
O I	4	...	0.25	...	0.10	...	0.10	...
Mg I	3	1	-0.01	-0.27	0.08	0.01	0.22	0.38
Mg II	2	1	-0.16	-0.25	0.05	0.01	0.07	0.05
Al II	4	1	0.26	0.24	0.02	0.01	0.04	0.19
Si I	1	...	0.38	...	0.00	...	0.17	...
Si II	4	3	0.15	0.22	0.05	0.13	0.13	0.16
S I	2	...	0.51	...	0.08	...	0.11	...
S II	...	1	...	0.65	...	0.01	...	0.23
Ca I	12	...	-0.04	...	0.04	...	0.07	...
Ca II	...	1	...	-0.79	...	0.01	...	0.27
Sc II hfs	2	...	-0.68	...	0.05	...	0.11	...
Ti II	21	10	0.10	-0.30	0.03	0.04	0.05	0.10
V II hfs	5	...	0.57	...	0.08	...	0.11	...
Cr I	5	...	0.24	...	0.05	...	0.10	...
Cr II	25	6	0.21	0.02	0.03	0.02	0.04	0.06
Mn II hfs	5	1	0.45	-0.15	0.12	0.01	0.38	0.06
Fe I	75	3	0.21	-0.03	0.01	0.09	0.02	0.22
Fe II	88	14	0.21	-0.02	0.01	0.03	0.02	0.03
Ni I	9	...	0.51	...	0.04	...	0.06	...
Ni II	4	...	0.83	...	0.08	...	0.09	...
Zn I	1	...	0.71	...	0.01	...	0.14	...
Sr II	1	...	0.68	...	0.01	...	0.83	...
Y II hfs	2	...	0.77	...	0.04	...	0.11	...
Zr II	5	...	0.87	...	0.04	...	0.08	...
Ba II	4	...	1.1	...	0.03	...	0.26	...

• Sonuçlar



• Sonuçlar



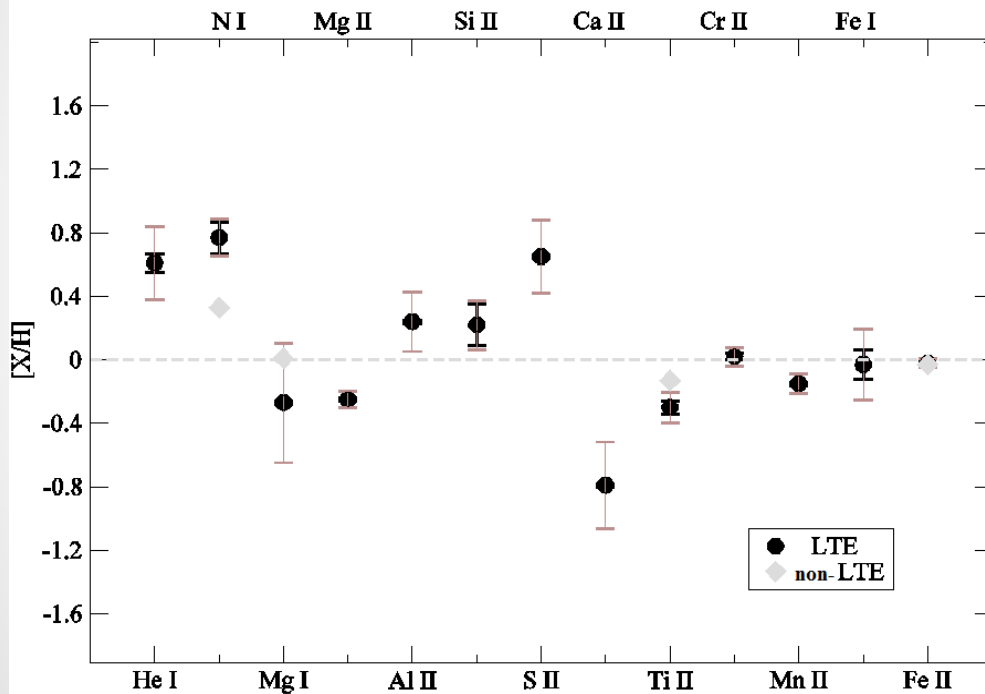
Yıldız Adı	Tayf Türü	T_e (K)	$\log g$ (cgs)	ξ (km s^{-1})	Referans
6 Cas	A3 Iae	9200	1.6	6.0	Bu çalışma
HD 14489	A2 Ia	9000	1.4	8.0	Venn (1995)
HD 13476	A3 Iab	8400	1.2	8.0	Venn (1995)
HD 15316	A3 Iab	8350	1.2	7.0	Venn (1995)

KimVenn (1995)'nin çalışmış olduğu A tayf türü süperdev yıldızları ve 6 Cas (bu çalışma) element bolluk grafiği

• Sonuçlar



6 CAS
T=9200 K logg=1.6

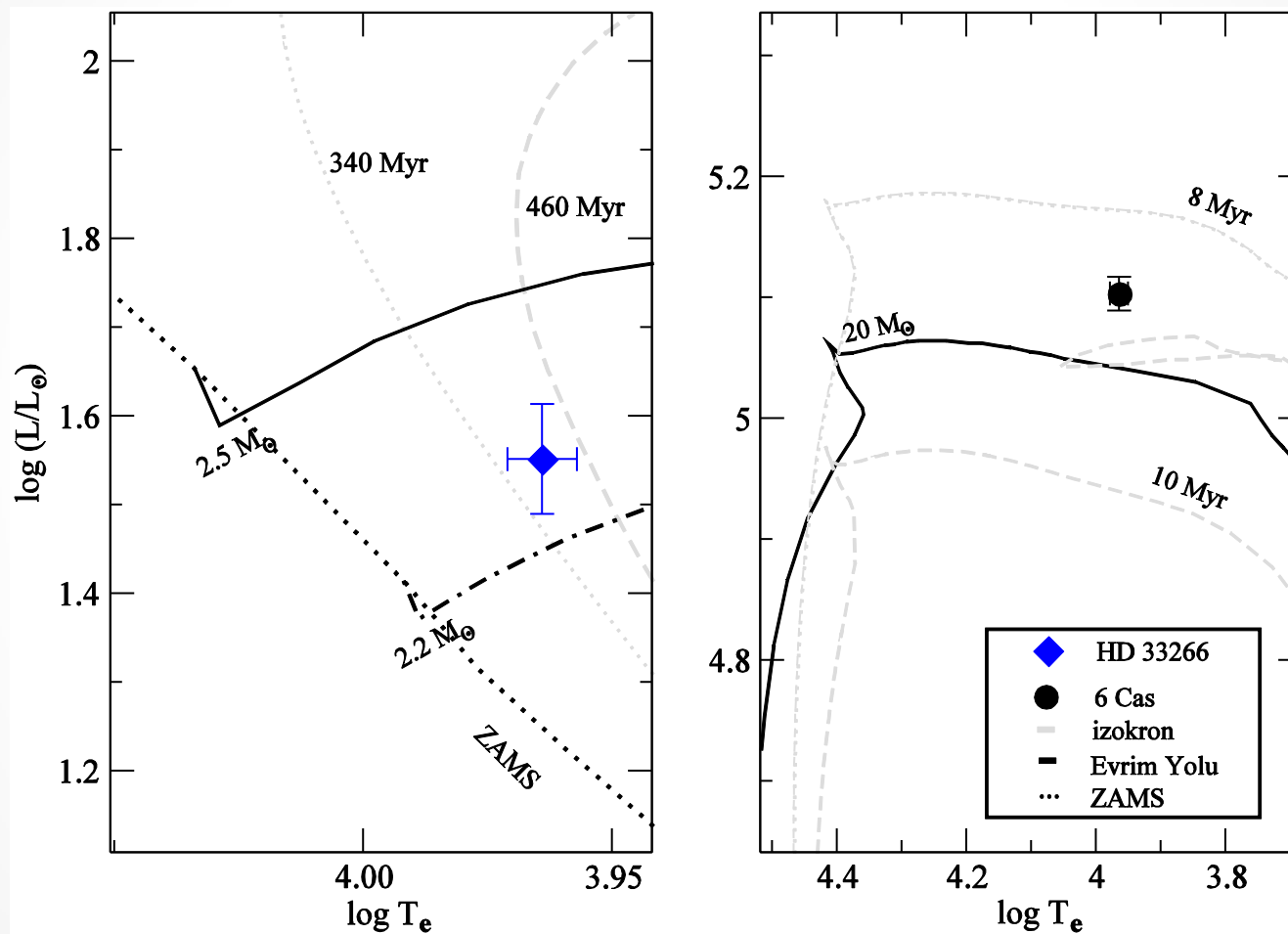


Atomik Tür	LTE *	non-LTE	referans
N I	0.70	0.33	Przybylla ve Butter (2011)
Mg I	-0.27	0.01	Przybylla ve Shiller (2008)
Ti II	-0.30	-0.13	Przybylla ve Shiller (2008)
Fe II	0.02	-0.03	Przybylla ve Shiller (2008)

* bu çalışma

6 Cas'ın LTE ve non-LTE bolluklarının karşılaştırması

• Sonuçlar



- **HD 33266** ~ 2.3 M_\odot (Salasnich vd. 2000), ~400 Myr (Marigo vd. 2008)
- **6 Cas** > 20 M_\odot (Salasnich vd. 2000), ~9 Myr (Bressan vd. 2012)



TEŞEKKÜRLER

The background features a dark, abstract design. On the left, a large black triangle points towards the center. From behind the text, a series of colorful, glowing light rays in shades of green, yellow, red, and blue fan outwards, creating a dynamic and celebratory atmosphere.